

ANALISA PERKUATAN DINDING PENAHAN TANAH (STUDI KASUS : AREA BENDUNGAN WAMPU KECAMATAN KUTA BULUH KABUPATEN KARO)

Oleh:

Indra Kurniawan ¹⁾

M Endayanti ²⁾

Universitas Darma Agung, Medan ^{1,2)}

E-mail:

indra.kurniawan.29@gmail.com ¹⁾

kurniawan@wampuep.com ²⁾

History Jurnal Ilmiah Teknik Sipil:

Received : 25 November 2021

Revised : 10 Desember 2021

Accepted: 23 Januari 2022

Published: 25 Februari 2022

Publisher: LPPM Universitas Darma Agung

Licensed: This work is licensed under

<http://creativecommons.org/licenses/by-nd/4.0>



ABSTRAK

Studi ini bertujuan untuk mengetahui besarnya gaya-gaya yang terjadi pada dinding penahan tanah; mengetahui besarnya gaya aktif pada dinding penahan tanah akibat percepatan gempa; dan mengetahui faktor keamanan terhadap guling, geser, dan kapasitas daya dukung dinding penahan tanah. Metode pelaksanaan studi ini dilakukan dengan menganalisa dan menghitung kestabilan dinding penahan tanah terhadap daya dukung tanah; menganalisa dan menghitung kestabilan dinding penahan tanah terhadap gaya pergeseran dan penggulingan; dan menganalisa dan menghitung terhadap gaya-gaya dalam yang bekerja pada dinding penahan tanah tipe grafitasi. Bendungan Wampu Kecamatan Kuta Buluh Kabupaten Karo ditinjau dari tingkat kegempaan berada pada zona 2. Daerah ini rentan terhadap gempa dan sering terjadinya aktifitas erupsi Gunung Sinabung. Bendungan ini berada di daerah perbukitan yang rawan terhadap longsor, sehingga pada daerah dengan kondisi tanah lunak akan diberi perkuatan lereng dengan konstruksi dinding penahan tanah. Dari hasil perhitungan stabilitas dinding penahan tanah dalam keadaan statis didapatkan hasil bahwa struktur stabil terhadap guling, geser dan daya dukung. Stabilitas dinding penahan tanah terhadap guling, geser, dan daya dukung memberikan nilai aman yaitu $SF > 1,5$, Nilai $SF_{(over\ turning)} = 2,331$; $SF_{(Sliding)} = 2,779$; $SF_{(bearing\ capacity)} = 4,839$. Dari hasil perhitungan stabilitas dinding penahan tanah dalam keadaan dinamis didapatkan hasil bahwa struktur stabil terhadap guling dan daya dukung, tetapi tidak stabil terhadap geser. Stabilitas dinding penahan tanah terhadap guling dan daya dukung memberikan nilai aman yaitu $SF > 1,5$. Nilai $SF_{(Sliding)} 1,028 < 1,5$; Nilai $SF_{(over\ turning)} = 1,849$; $SF_{(bearing\ capacity)} = 1,779$. Nilai SF menjadi lebih kecil setelah konstruksi memikul beban gempa.

Kata Kunci : Dinding Penahan Tanah, Gaya Gempa, Stabilitas Dinding Penahan Tanah.

ABSTRACT

This study aims at determining the magnitude of the forces that occur in the retaining wall; knowing the magnitude of the active force on the retaining wall due to earthquake acceleration; and knowing the safety factor against overturning, shearing, and the bearing

capacity of the retaining wall. The method of implementing this study is to analyze and calculate the stability of the retaining wall against the bearing capacity of the soil; analyze and calculate the stability of the retaining wall against shearing and overturning forces; and analyze and calculate the internal forces acting on the gravity type retaining wall. In terms of seismicity, Wampu Dam, Kuta Buluh District, Karo Regency, lies in zone 2. This area is prone to earthquakes and Mount Sinabung's periodic eruptions. This dam is located in a mountainous location prone to landslides, hence slope strengthening with the building of retaining walls will be provided in sections with soft soil conditions. The calculation of the retaining wall's stability in a static condition reveals that the construction is stable overturning, shearing, and bearing capacity. The retaining wall's stability overturning, shearing, and bearing capacity offers a safe value, which is $SF > 1.5$, $SF(\text{overturning}) = 2.331$; $SF(\text{sliding}) = 2.779$; and $SF(\text{bearing capacity}) = 4.839$. The calculation of the retaining wall's stability in dynamic conditions reveals that the structure is stable overturning and bearing capacity, but not shear. The retaining wall's stability overturning and bearing capacity provide a safe value of $SF > 1.5$. $SF(\text{sliding}) = 1.028 < 1.5$; $SF(\text{overturning}) = 1.849$; $SF(\text{bearing capacity}) = 1,779$. After the structure is subjected to seismic loads, the value of SF decreases.

Keywords: Retaining Wall, Earthquake Force, Retaining Wall Stability.

1. PENDAHULUAN

Latar Belakang

Daerah Kuta Buluh Kabupaten Karo berada pada zona gempa 2 yang rawan terhadap gempa, sehingga dalam perencanaan dinding penahan tanah pada area Bendungan Wampu harus memasukkan parameter koefisien tekanan tanah aktif yang disebabkan oleh gaya gempa.

Rumusan Masalah

Berdasarkan latar belakang di atas, maka pada dinding penahan tanah yang rentan terhadap gaya gempa, maka harus diperhitungkan faktor keamanan terhadap guling (*overturning*), geser (*sliding*), dan faktor keamanan terhadap daya dukung (*bearing capacity*), dan perhitungan kapasitas daya dukung. Sehingga dinding penahan tanah tidak rubuh akibat beban dan gaya yang terjadi.

Tujuan Penelitian

Tujuan dari penelitian ini adalah :

1. mengetahui besarnya gaya-gaya yang terjadi pada dinding penahan tanah.
2. mengetahui besarnya gaya aktif pada dinding penahan tanah akibat percepatan gempa.

3. mengetahui faktor keamanan terhadap guling, geser, dan kapasitas daya dukung dinding penahan tanah.

2. TINJAUAN PUSTAKA

Definisi dinding penahan tanah (*retaining wall*)

Dinding penahan tanah adalah suatu konstruksi yang berfungsi untuk menahan tanah lepas atau alami dan mencegah keruntuhan tanah yang miring atau lereng yang kemantapannya tidak dapat dijamin oleh lereng tanah itu sendiri. Tanah yang tertahan memberikan dorongan secara aktif pada struktur dinding sehingga struktur akan cenderung terguling atau tergeser. Bangunan ini biasa digunakan untuk menopang tanah, timbunan dan lain sebagainya. Jenis-jenis dinding penahan tanah yaitu :

- a. Dinding Gravitasi (*Gravity Wall*) :

Dinding ini biasanya dibuat dari beton murni (tanpa tulangan) atau dari pasangan batu kali. Stabilitas konstruksi diperoleh hanya dengan mengandalkan berat sendiri.

- b. Dinding *Kantilever* (*Cantilever Wall*)

Dinding *Kantilever* dibuat dari beton bertulang yang tersusun dari suatu dinding vertikal dan tapak lantai. Masing-

masing berperan sebagai balok atau pelat *Kantilever*. Stabilitas konstruksi diperoleh dari berat sendiri dinding penahan dan berat tanah di atas tumit tapak (*hell*). Terdapat 3 bagian struktur yang berfungsi sebagai *Kantilever*, yaitu bagian dinding vertikal (*steem*), tumit tapak dan ujung kaki tapak (*toe*).

- c. Dinding *Kontrafort* (*Counterfort Wall*)
Apabila tekanan tanah aktif pada dinding vertikal cukup besar, maka bagian dinding vertikal dan tumit perlu disatukan (*counterfort*). *Kontrafort* berfungsi sebagai pengikat tarik dinding vertikal dan di tempatkan pada bagian timbunan dengan interval jarak tertentu.
- d. Dinding *Butters* (*Buttrrs Wall*)
Dinding ini hampir sama dengan dinding *kontrafort*, hanya bedanya bagian *kontrafort* diletakkan di depan dinding. Dalam hal ini, struktur *kontrafort* berfungsi memikul tegangan tekan. Pada dinding ini, bagian tumit lebih pendek daripada bagian kaki. Stabilitas konstruksinya diperoleh dari berat sendiri dinding penahan dan berat tanah di atas tumit tapak.
- e. Abutment Jembatan (*Bridge Abutment*)
Struktur ini berfungsi seperti dinding penahan tanah yang memberikan tahanan horisontal dari tanah timbunan di belakangnya. Pada perencanaannya, struktur dianggap sebagai balok yang dijepit pada dasar dan ditumpu bebas pada bagian atasnya.
- f. Dinding Turap
Berdasarkan material yang digunakan dikenal beberapa macam dinding turap sesuai dengan material yang digunakan yaitu dinding turap baja, kayu, dan beton.
- g. *Box culvert*
Box culvert dapat dibuat dengan satu atau dua lubang, dan berfungsi sebagai portal kaku tertutup yang dapat menahan tekanan tanah lateral dan beban vertikal.

Tanah dan Agregat

Tanah dan Agregat merupakan campuran sebagian atau seluruh jenis

berangkal (*boulders*), kerakal (*cobbles*), kerikil (*Gravels*), pasir (*Sands*), lanau (*Silts*) dan lempung (*Clays*) serta koloid (*Colloids*). Menurut ASTM, pembagian atau pendistribusian ukuran butir adalah sebagai berikut :

Tabel 1. Ukuran Butir Dari Berbagai Jenis Material

NO	MATERIAL	UKURAN BUTIR (mm)
1.	Kerikil (<i>Gravels</i>)	4.75 - 75
2.	Pasir (<i>Sand</i>) Kasar (<i>Coarse</i>) Sedang (<i>Median</i>) Halus (<i>Fine</i>)	0.075 - 4.75 2.000 - 4.75 1.425 - 2.00 0.075 - 1.425
3.	Lanau (<i>Silts</i>)	0.005 - 0.075
4.	Lempung (<i>Clays</i>)	0.001 - 0.005
5.	Koloid (<i>Colloids</i>)	< 0.001

(*Mekanika Tanah, Braja M. Das, 1993*)

Teori Analisa Stabilitas Lereng

Analisis stabilitas pada permukaan tanah yang miring disebut analisis stabilitas lereng. Konsep dinding penahan tanah adalah perkuatan tanah yang digunakan untuk menahan beban tanah secara vertikal ataupun terhadap kemiringan tertentu. Kestabilan suatu lereng dinyatakan dengan faktor keamanan. Faktor keamanan adalah perbandingan antara gaya penahan dan gaya penggerak pada lereng (Hariyadi dan Wahyudhi, 2016). Di bawah ini merupakan persamaan faktor keamanan lereng :

$$F = \tau / \tau_d$$

Keterangan :

F = faktor keamanan

τ = tahanan geser maksimum tanah

τ_d = tegangan geser yang terjadi akibat

gaya berat tanah yang akan longsor

Tabel 2. Nilai Faktor Keamanan Lereng

Nilai Faktor Keamanan	Kejadian Intensitas Longsor
$F < 1,07$	Longsor sering terjadi (tidakstabil)

1,07 < F < 1,25	Longsor pernah terjadi (kritis)
F > 1,25	Longsor jarang terjadi (stabil)

(Bowles, 1989)

Analisis stabilitas lereng menggunakan metode fellenius (1927) menganggap gaya-gaya yang bekerja pada sisi kanan-kiri dari sembarang irisan mempunyai resultan nol pada arah tegak lurus bidang longsor. Faktor aman didefinisikan sebagai,

$$F = \frac{\sum Mr}{\sum Md}$$

persamaan untuk faktor aman menjadi,

$$F = \frac{\sum_{i=1}^n (ca_i + W_i \cos \theta_i \times \tan \varphi)}{\sum_{i=1}^n W_i \sin \theta_i}$$

Bila terdapat air pada lereng, tekanan airpori pada bidang longsor tidak menambah momen akibat tanah yang akan longsor (Md), karena resultan gaya akibat tekanan-tekanan airpori lewat titik pusat lingkaran.

$$F = \frac{\sum ca_i + (W_i \cos \theta_i - u_i a_i) \tan \varphi}{\sum W_i \sin \theta_i}$$

Keterangan :

F = faktor aman

c = kohesi (kN/m²)

φ = sudut gesek dalam tanah (°)

a_i = panjang lengkung lingkaran pada irisan ke-i (m)

W_i = berat irisan tanah ke-i (kN)

u_i = tekanan air pori pada irisan ke-i (kN/m²)

θ_i = sudut dari pusat irisan ke titik berat (°)

Mekanisme Keruntuhan Tanah

Pola keruntuhan tanah dapat terjadi secara alami maupun akibat konstruksi/bangunan yang ada di atas tanah. Keruntuhan tanah yang terjadi secara alami dapat dilihat pada suatu lereng, dimana keruntuhan lereng tersebut merupakan suatu bidang ketika tegangan

geser sepanjang bidang geser lebih besar dari kekuatan tanah. Jika permukaan runtuh memotong lereng pada kaki atau di atas kaki lereng disebut "*slope circle*", jika permukaan runtuh melalui kaki lereng disebut "*toe circle*", dan jika permukaan runtuh berada di bawah kaki lereng keruntuhan dan di bawah permukaan disebut "*mid point circle*". Untuk Meningkatkan stabilitas lereng dari keruntuhan yakni akibat tegangan geser sepanjang bidang geser tanah maka dibuat dinding penahan tanah.

Tekanan Tanah Lateral

Tekanan tanah lateral adalah gaya yang ditimbulkan akibat dorongantahan di belakang struktur penahan tanah. Besarnya tekanan lateral sangat dipengaruhi oleh perubahan letak (*displacement*) dari dinding penahan dan sifat-sifat tanahnya.

Analisis tekanan tanah lateral ditinjau pada kondisi keseimbangan plastis, yaitu saat massatanah pada kondisi tepat akan runtuh (Rankine, 1857). Besarnya tekanan tanah ditentukan oleh:

- Koefisien tekanan tanah aktif, pasif dan tekanan tanah aktif pada saat gempa;
- Kohesi tanah;
- Beban yang bekerja pada permukaan tanah timbunan.

Analisis tekanan tanah lateral ditinjau pada kondisi keseimbangan elastis, yaitu teori yang digunakan untuk menghitung profil tekanan lateral pada dinding penahan tanah dari pembebanan muatan tambahan permukaan (titik, garis, lajur). Jenis-jenis pembebanan pada dinding penahan yang dapat menaikkan tekanan tanah dapat dibagi atas :

- Beban titik atau beban terpusat Q diletakkan pada permukaan tanah urugan dibelakang dinding.
- Beban garis yaitu beban yang diletakkan sejajar dengan puncak (bagian atas) dinding penahan.
- Beban lajur sebesar q persatuan luas dapat berbentuk beban merata persegi panjang, beban merata segi tiga, dengan beban merata trapesium.

Teori elastis memberikan nilai untuk

Poisson ratio (μ) sebesar -1 dan +0,5. Tanda + berarti suatu regangan perpanjangan dengan penyusutan lateral seperti untuk baja regang yang menghasilkan $\mu = 0,3$ dan untuk uji silinder beton $\mu = 0,15$.

Teori yang digunakan dalam penelitian ini menggunakan teori Coloumb (1776). Persamaan Teori dari Coloumb (1776) tentang koefisien tekanan tanah aktif, tanah pasif, dan tanah aktif pada saat gempa sebagai berikut :

Ka

$$= \frac{\sin^2(\alpha + \phi)}{\sin^2 \alpha \sin(\alpha - \delta) \left[1 + \sqrt{\frac{\sin(\phi + \delta) \sin(\phi - \beta)}{\sin(\alpha - \delta) \sin(\alpha + \beta)}} \right]^2}$$

Kp

$$= \frac{\sin^2(\alpha - \phi)}{\sin^2 \alpha \sin(\alpha + \delta) \left[1 - \sqrt{\frac{\sin(\phi + \delta) \sin(\phi + \beta)}{\sin(\alpha + \delta) \sin(\alpha + \beta)}} \right]^2}$$

KAE'

$$= \frac{\cos^2(\phi - \theta - \beta)}{\cos^2 \theta \cos \beta \cos(\delta + \theta + \beta) \left[1 - \sqrt{\frac{\sin(\phi + \delta) \sin(\phi - \alpha - \beta)}{\cos(\delta + \theta + \beta) \cos(\theta - \alpha)}} \right]}$$

keterangan :

- Ka = koefisien tekanan tanah aktif
- Kp = koefisien tekanan tanah pasif
- KAE' = koefisien tekanan tanah aktif pada saat gempa
- β = sudut kemiringan tanah timbunan
- α = sudut kemiringan lereng
- ϕ = sudut geser dalam tanah
- θ = $\tan^{-1} K_h$

Tabel 3. Koefisien Geser Dasar Gempa

Daerah Gempa (Zona)	C		
	Tanah Keras	Tanah Sedang	Tanah Lunak
1	0,20	0,23	0,23
2	0,17	0,21	0,21
3	0,14	0,18	0,18
4	0,10	0,15	0,15
5	0,07	0,12	0,12
6	0,06	0,06	0,07

Sehingga gaya akibat gempa adalah :

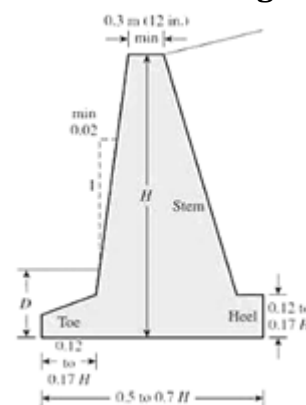
$$P_{ae} = \frac{\gamma H^2}{2} (1 - K_v) K_{AE}'$$

Perencanaan dinding penahan tanah

Jenis atau tipe dinding penahan tanah yang digunakan dalam penelitian ini yaitu dinding penahan tanah tipe gravitasi. Perencanaan dinding penahan tanah ini digunakan untuk menganalisa stabilitas dari setiap struktur. Bentuk dan ukuran bagian dari dinding penahan tanah tipe gravitasi di bawah kondisi normal, sebagai berikut :

- a. Lebar pelat lantai (B) dengan ukuran 0,5H-0,7H
- b. Lebar puncak dengan ukuran = 0,3H-H/12
- c. Tebal kaki dan tumit dengan ukuran H/8-H/6
- d. Lebar kaki dan tumit dengan ukuran (0,5-1)d

Gambar 1. Desain Dinding Gravitasi



(Sumber : Principles of Foundation Engineering, Braja M. Das, 8th Edition, 2014)

Untuk dinding *kontrafort*, dimensi sementara yang dapat dipakai adalah lebar tapak dinding *kontrafort* sama dengan lebar tapak dinding *Kantilever*, yaitu 0,45H s/d 0,75H. *Kontrafort* dapat di tempatkan pada jarak 0,30H s/d 0,60H, dengan tebal tidak kurang dari 20 cm. Tinggi *kontrafort* sebaiknya sama dengan tinggi dinding vertikal; tetapi bila diinginkan ketinggian yang lebih kecil, dapat dikurangi dengan

0,12 H s/d 0,24 H.

Analisis Stabilitas Dinding Penahan Tanah

Analisa stabilitas dinding penahan tanah harus memperhatikan hal-hal berikut ini:

1. Berat sendiri dari dinding penahan tanah
2. Gaya tekan tanah aktif
3. Gaya tekan tanah pasif
4. Tekanan air
5. Reaksi tanah dasar

Penggunaan bahan dalam konstruksi dinding penahan tanah memberikan perkuatan pada massa tanah, memperbesar timbunan di belakang dinding penahan tanah. Perkuatan juga mengurangi potensi gaya lateral yang dapat menimbulkan perpindahan kearah horizontal dari dinding penahan tanah akibat adanya beban *vertical* yang dipindahkan menjadi tekanan tanah aktif (Suryolelono, 1994). Adapun analisis yang diperlukan untuk konstruksi dinding penahan tanah, antara lain:

a. Faktor Keamanan Terhadap Guling

Faktor aman terhadap penggulingan (*Fgl*) didefinisikan sebagai (Bowles 1989) :

$$F_{gl} = \frac{\sum M_w}{\sum M_{gl}} \geq 1.5$$

$$\sum M_{gl} = \sum M_w = W$$

$$\sum M_{gl} = \sum P_{ah} h_1 + \sum P_{av} B$$

keterangan :

- $\sum M_w$ = momen yang melawan penggulingan (kN.m)
- $\sum M_{gl}$ = momen yang mengakibatkan penggulingan (kN.m)
- W = jumlah berat dinding dan berat tanah di atas pondasi (kN)
- B = lebar kaki dinding penahan (m)
- $\sum P_{ah}$ = jumlah gaya-gaya horizontal (kN)
- $\sum P_{av}$ = jumlah gaya-gaya vertikal (kN)

b. Faktor Keamanan Terhadap Geser

Gaya-gaya yang menggeser dinding penahan tanah akan

ditahan oleh gesekan antara tanah dan dasar pondasi, tekanan tanah pasif bila di depan dinding penahan tanah timbunan. Untuk mengetahui keamanan terhadap geser (*Fgs*) dapat dihitung menggunakan persamaan Bowles (1989) dibawah ini :

$$F_{gs} = \frac{W \tan \phi + c B}{\sum Ph} \geq 1.5$$

keterangan :

- Fgs* = faktor keamanan
- W = berat dinding penahan tanah dan tanah di belakang dinding penahan tanah (kN)
- c = kohesi antara tanah dengan dasar dinding penahan tanah (kN/m)
- B = lebar dinding penahan tanah (m)
- $\sum Ph$ = gaya tekanan tanah aktif/horizontal (kN)
- $\tan \phi$ = faktor geser antara tanah dan dinding penahan tanah

c. Faktor Keamanan Daya Dukung Tanah

Tekanan yang disebabkan oleh gaya yang terjadi pada dinding penahan tanah harus lebih kecil dari daya dukung ijin tanah, untuk menghitung besarnya daya dukung tanah dapat menggunakan persamaan Terzhagi :

$$q_{ult} = cN_c + \gamma D_f N_q + \frac{1}{2} B \gamma N_\gamma$$

keterangan :

- q_{ult} = daya dukung tanah (t/m)
- e = eksentrisitas (m)
- c = kohesi (t/m²)
- γ = berat isi tanah (kN/m)
- D_f = kedalaman pondasi (m)
- B = lebar dasar (m)
- ϕ = sudut geser tanah (°)
- N_c, N_q, N_γ = faktor daya dukung

Nilai-nilai dari N_c, N_q, N_γ dalam bentuk grafik yang diberikan Terzaghi dapat dilihat pada Tabel 2.4. Stabilitas kapasitas dukung tanah dapat dihitung dengan :

$$xe = \left(\frac{\sum M_w - \sum M_{gl}}{\sum W} \right)$$

$$e = \frac{B}{2} - xe$$

$$B' = B - 2e$$

keterangan :

- $\sum M_w$ = momen yang melawan penggulingan (kN.m)
- $\sum M_{gl}$ = momen yang mengakibatkan penggulingan (kN.m)
- $\sum W$ = total berat tanah di atas pelat pondasi dan berat sendiri dinding penahan (kN)
- e = eksentrisitas beban (m)
- B = lebar dasar pondasi (m)
- B' = lebar efektif (m)

Tekanan pondasi ke tanah terbagi rata makadapat dihitung :

$$q' = V/B'$$

keterangan :

- q' = tekanan akibat beban struktur (kN/m)
- V = beban vertikal total (kN)
- B' = lebar efektif (m)

Faktor keamanan terhadap kapasitas dayadukung tanah dapat dihitung berdasarkan persamaan berikut :

$$F = qu/q \geq 3$$

keterangan :

- qu = kapasitas dukung ultimit (kN/m)
- q = tekanan akibat beban struktur (kN/m²)

Nilai tekanan dari struktur dinding penahan ke tanah dihitung dengan rumus, sebagai berikut :

$$\sigma_{\text{rata-rata}} = \sum \sigma / \Sigma (\sigma \pm ((\sigma \times \Sigma) / \Sigma)) \geq \sigma_{\text{ijin}}$$

Tabel 4. Nilai-Nilai Faktor Kapasitas Daya Dukung Terzaghi

Ø	Keruntuhan Geser Umum		
	Nc	Nq	Nγ
0	5,7	1,0	0,0
5	7,3	1,6	0,5

10	9,6	2,7	1,2
15	12,9	4,4	2,5
20	17,7	7,4	5,0
25	25,1	12,7	9,7
30	37,2	22,5	19,7
35	57,8	41,4	42,4
40	95,7	81,3	100,4
45	172,3	173,3	297,5

(Hary Christady Hardiyatmo, 2007)

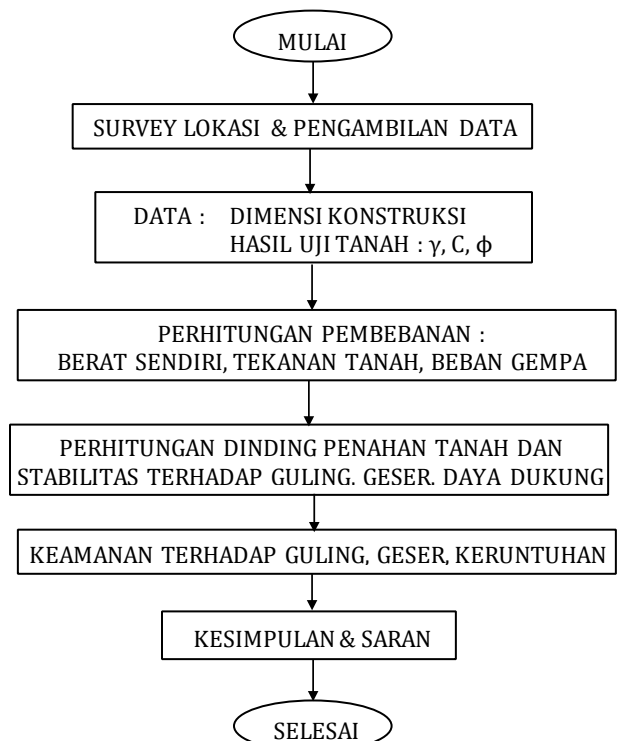
3. METODE PELAKSANAAN

Lokasi Penelitian

Dinding penahan tanah berada pada lokasi Bendungan Wampu Kecamatan Kuta Buluh Kabupaten Karo, Tinggi dinding penahan tanah tipe grafitasi adalah 9 meter dibagi menjadi 2 trap, hal ini dilakukan karena dinding penahan tanah berada pada lereng yang curam dengan kemiringan lereng 58°.

Diagram Alir Penelitian

Gambar 2. Bagan Alir Metodologi Penelitian



Pengambilan Data

Untuk memperoleh data yang sesuai

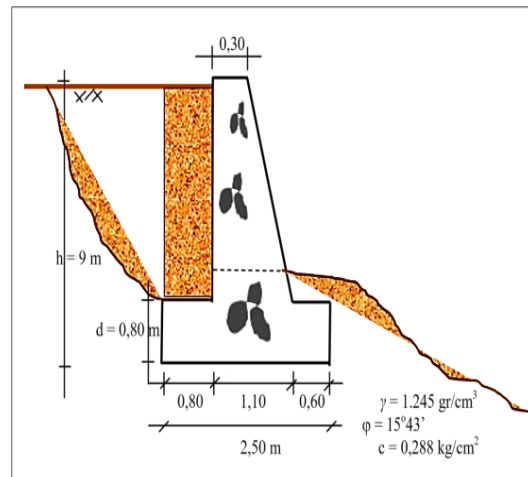
dengan masalah yang diteliti atau akan dibahas, maka peneliti menggunakan teknik pengumpulan data sebagai berikut :

1. Data Primer : data ini diperoleh secara langsung dari lapangan antara lain :
 - a. Data yang diperoleh secara langsung di lapangan baik dengan pengamatan/ pengukuran sendiri.
 - b. Pengambilan sampel tanah asli di lokasi.
 - c. Data-data pendukung lainnya yang di dapat dari pengujian laboratorium.
2. Data Sekunder : data yang diperoleh dari buku-buku referensi yang berhubungan dengan permasalahan.

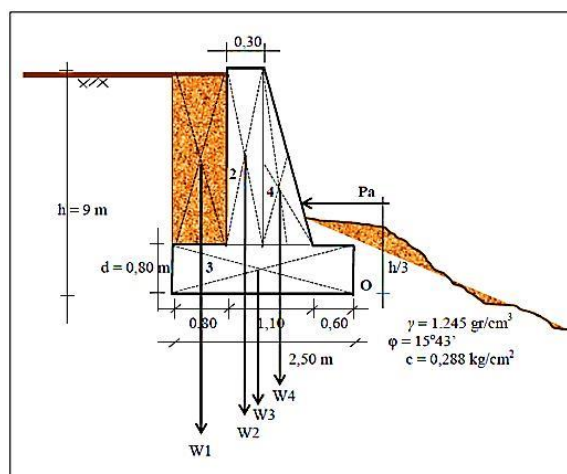
Metode Analisis

Metode pengolahan dan menganalisis data setelah semua data terkumpul, maka dilakukan analisis dan pengolahan data dengan cara :

- a. Menganalisa dan menghitung kestabilan dinding penahan tanah terhadap daya dukung tanah.
- b. Menganalisa dan menghitung kestabilan dinding penahan tanah terhadap gaya pergeseran dan penggulingan.
- c. Menganalisa dan menghitung terhadap gaya-gaya dalam yang bekerja pada dinding penahan tanah tipe grafitasi.



Gambar 4. Titik Berat Pada Dinding Penahan Tanah



4. HASIL DAN PEMBAHASAN

Perhitungan Dinding Penahan Tanah Kondisi Statis

Perhitungan dinding penahan tanah kondisi statis, yaitu kondisi dimana tanpa memperhitungkan beban gempa. Perencanaan dinding penahan tanah (*Retaining Wall*) sebagai berikut (gambar 3) :

Gambar 3. Perencanaan dinding penahan tanah

Tabel 5. Berat Dinding Penahan Tanah dan Momen Tahanan terhadap titik O

No	Uraian Perhitungan Berat Dinding	Berat Dinding (ton)	Lengan Momen (m)	Momen Tahanan (ton.m)
1	$W_1 = 1,245 \times (8,2 \times 0,80)$	8,167	2,100	17,151
2	$W_2 = 2,40 \times (8,2 \times 0,30)$	5,904	1,550	9,150
3	$W_3 = 2,40 \times (2,5 \times 0,80)$	4,800	1,250	6,000
4	$W_4 = 2,40 \times (\frac{1}{2} \times (8,2 \times 0,80))$	7,872	1,000	7,872

	Total	26,743	40,173
--	--------------	---------------	---------------

Tabel 6. Beban dan Gaya-Gaya yang Bekerja pada Dinding Penahan Tanah

No	Beban	Nilai Beban (ton)	Lengan Momen (m)	Mo (ton.m)	MR (ton.m)
1	W1	8,167	2,100	-	17,15
2	W2	5,904	1,550	-	9,150
3	W3	4,800	1,250	-	6,000
4	W4	7,872	1,000	-	7,872
5	Pa	5,745	3,000	17,23	40,17

Faktor Keamanan untuk Dinding Penahan Tanah :

a) Faktor Keamanan terhadap Guling (*Overturning*)

$$SF_{(over\ turning)} = 2,331$$

b) Faktor Keamanan terhadap Geser (*Sliding*)

$$SF_{(Sliding)} = 2,779$$

c) Faktor Keamanan terhadap Daya Dukung (*Bearing capacity*)

$$SF_{(bearing\ capacity)} = 4,839$$

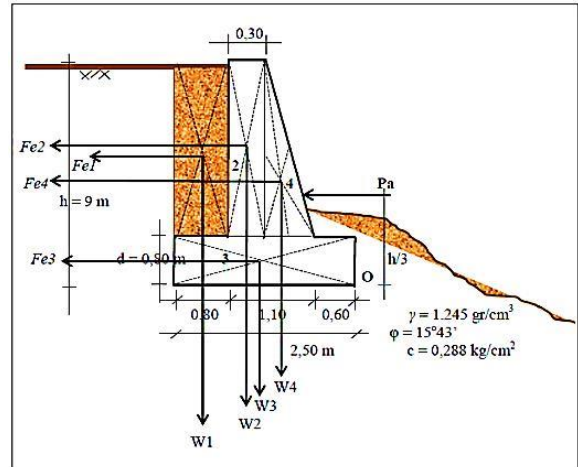
Tabel 7. Tinjauan Terhadap Guling, Geser, Daya Dukung Kondisi Statis

	SF	Hasil	Rujukan	Kondisi
SF Terhadap Guling	$SF_{(over\ turning)}$	2,331	1,5	Aman
SF Terhadap Geser	$SF_{(Sliding)}$	2,779	1,5	Aman
SF Terhadap Daya Dukung	$SF_{(bearing\ capacity)}$	4,839	1,5	Aman

Perhitungan Dinding Penahan Tanah Kondisi Dinamis

Perhitungan dinding penahan tanah kondisi dinamis, yaitu kondisi dimana dengan memperhitungkan beban gempa.

Gambar 5. Gaya-Gaya yang bekerja akibat Beban Dinamis



• Koef. gempa (K_h) = percepatan gempa (ag) = 0,257

• Percepatan gravitasi (g) = 9,81 m/dt²

$$Fe_1 = W_1 \times K_h = 8,167 \times 0,257 = 2,099 \text{ ton.}$$

$$Fe_2 = W_2 \times K_h = 5,904 \times 0,257 = 1,517 \text{ ton}$$

$$Fe_3 = W_3 \times K_h = 4,800 \times 0,257 = 1,234 \text{ ton}$$

$$Fe_4 = W_4 \times K_h = 7,872 \times 0,257 = 2,023 \text{ ton}$$

Tabel 8. Gaya-Gaya Yang Bekerja Akibat Beban Dinamis

No	Beban	Nilai Beban (ton)	Lengan Momen (m)	Mo (ton.m)	MR (ton.m)
1	Fe1	2,099	4,90	-	10,285
2	Fe2	1,517	4,95	-	7,509
3	Fe3	1,234	0,40	-	0,494
4	Fe4	2,023	3,53	-	7,141
5	TEX	8,247	1,667	13,747	25,429

6	T_{EY}	8,24 7	3,000	24,74 3	
---	----------	-----------	-------	------------	--

Faktor keamanan untuk dinding penahan tanah:

a) Faktor Keamanan terhadap Guling (*Overturning*)

$$SF_{(over\ turning)} = 1,849$$

b) Faktor Keamanan terhadap Geser (*Sliding*)

$$SF_{(Sliding)} = 1,028$$

c) Faktor Keamanan Terhadap Daya Dukung (*Bearing capacity*)

$$SF_{(Bearing\ capacity)} = 1,799$$

Tabel 9. Tinjauan Terhadap Guling, Geser, Daya Dukung Kondisi Dinamis

	SF	Hasil	Rujukan	Kondisi
SF Terhadap Guling	$SF_{(over\ turning)}$	1.849	1,5	Aman
SF Terhadap Geser	$SF_{(Sliding)}$	1.028	1,5	Tidak Aman
SF Terhadap Daya Dukung	$SF_{(bearing\ capacity)}$	1,799	1,5	Aman

Dari perhitungan mencari nilai *Safety factor* (angka keamanan) pada dinding penahan tanah model gravitasi di daerah Bendungan Wampu Kecamatan Kuta Buluh Kabupaten Karo, memberikan hasil sebagai berikut :

- Dari hasil perhitungan stabilitas dinding penahan tanah dalam keadaan statis didapatkan hasil bahwa struktur stabil terhadap guling, geser dan daya dukung.
 - Stabilitas dinding penahan tanah terhadap guling, geser, dan daya dukung memberikan nilai aman yaitu $SF > 1,5$.
 - Nilai $SF_{(over\ turning)} = 2,331$; $SF_{(Sliding)} = 2,779$; $SF_{(bearing\ capacity)} = 4,839$.
- Pada perhitungan stabilitas dinamis

dinding penahan tanah berdasarkan teori kesetimbangan gaya didapatkan hasil bahwa pada dinding penahan tanah stabil terhadap guling dan daya dukung, tetapi tidak stabil terhadap geser.

- Stabilitas dinding penahan tanah terhadap guling dan daya dukung memberikan nilai aman yaitu $SF > 1,5$.
- Dinding penahan tanah tidak stabil terhadap gaya geser yaitu adanya beban dinamis gempa, dimana $SF_{(Sliding)} 1,028 < 1,5$
- Nilai $SF_{(over\ turning)} = 1,849$; $SF_{(Sliding)} = 1,028$; $SF_{(bearing\ capacity)} = 1,779$.

Nilai SF menjadi lebih kecil setelah konstruksi memikul beban gempa.

5. SIMPULAN

Simpulan

Dari perhitungan mencari nilai *Safety factor* (angka keamanan) pada dinding penahan tanah model gravitasi di daerah Bendungan Wampu Kecamatan Kuta Buluh Kabupaten Karo, memberikan hasil sebagai berikut :

- Dari hasil perhitungan stabilitas dinding penahan tanah dalam keadaan statis didapatkan hasil bahwa struktur stabil terhadap guling, geser dan daya dukung.
- Stabilitas dinding penahan tanah terhadap guling, geser, dan daya dukung memberikan nilai aman yaitu $SF > 1,5$.
- Nilai $SF_{(over\ turning)} = 2,331$; $SF_{(Sliding)} = 2,779$; $SF_{(bearing\ capacity)} = 4,839$.
- Pada perhitungan stabilitas dinamis dinding penahan tanah berdasarkan teori kesetimbangan gaya didapatkan hasil bahwa pada dinding penahan tanah stabil terhadap guling dan daya dukung, tetapi tidak stabil terhadap geser.
- Stabilitas dinding penahan tanah terhadap guling dan daya dukung memberikan nilai aman yaitu $SF > 1,5$.
- Dinding penahan tanah tidak stabil terhadap gaya geser yaitu adanya beban dinamis gempa, dimana $SF_{(Sliding)} 1,028 < 1,5$
- Nilai $SF_{(over\ turning)} = 1,849$; $SF_{(Sliding)} = 1,028$; $SF_{(bearing\ capacity)} = 1,779$.
- Nilai SF menjadi lebih kecil setelah

konstruksi memikul beban gempa.

Saran

1. Dalam menentukan alternatif desain dinding penahan tanah harus melihat kondisi lapangan agar tingkat kestabilan konstruksi dapat tercapai.
2. Dalam perencanaan dinding penahan tanah lebih baik digunakan struktur kolom (menggunakan tulangan) sebagai perkuatan terhadap gempa.

6. DAFTAR PUSTAKA

- Bowles, Joseph (translated by Sinaban Pantur), (1999), "*Analisis dan Disain Pondasi*" edisi ketiga jilid 2. Jakarta. Penerbit Erlangga
- Das, Braja M (translated by Mochtar. N. E and Mochtar I.B.), (1995), "*Mekanika Tanah (Prinsip-prinsip Rekayasa Geoteknis)*" Jilid 2, Jakarta, Penerbit Erlangga.
- Das, Braja M, (1990), "*Principles Of Foundation Engineering*, second edition", Boston, PWS-Kent Publishing Company.
- Das, Braja M., (1984), "*Fundamentals of Soil Dynamics*", Elsevier Science Publishing Co. Inc., New York.
- Guy Sangrelat, Gilbert Olivari dan Bernard Cambou (1989), *Mekanika Tanah dan Teknik Pondasi*, Bagian I & II, Airlangga.
- James K. Mitchell (2002), *Fundamentals of Soil Behavior*, University of California, Berkeley, John Wiley & Sons, Inc.
- Joseph E Bowles dan Johan K. Hainim (1989), *Sifat – Sifat Fisis dan Geoteknis Tanah (Mekanika Tanah)*, Cetakan II, Erlangga.
- Ir. G. Djatmiko Soedarno (1993), *Mekanika Tanah 2*, Kanisius, Yogyakarta.
- Ir. Sunggono Kh (1982), *Mekanika Tanah*, Penerbit Nova Bandung.
- L.D. Wesley (1973), *Mekanika Tanah* terjemahan : Ir. A.M. Luthfi, Pekerjaan Umum, Jakarta
- Mario Paz, „Dinamika Struktur, Teori dan Perhitungan“, Penerbit Erlangga Jakarta, Edisi Kedua R.F. Craig (1989), Budi Susilo, S., *Mekanika Tanah*, Edisi IV, Erlangga.
- Robert D. Holtz and William D. Kovacs (2001), *An Introduction to Geotechnical Engineering*, Prentice Hall, Inc, Englewood Cliffs, Jersey.
- Silitonga, P.H. dan Kastowo, 1995, "*Peta Geologi Sumatera*", Pusat Penelitian dan Pengembangan Geologi Bandung.
- Sukmono, S, M.T. Zein, W.G.A. Kadir, "*Geometry and Fractal Characteristic of Sumatera Active Fault*" , Proc. Indonesian Petroleum Association, 24th, Oktober 1995.
- Hardiyatmo, Christady. (2003), *Mekanika Tanah II Edisi 3*. Hal. 189-219, 359-371. Yogyakarta : Gadjah Mada University Press.
- M. Das, Braja. (2014). *Principles of Foundation Engineering Eight Edition*. Hal. 653. Boston, USA.
- Hadihardaja, Joetata. (1997). *Rekayasa Pondasi Konstruksi Penahan Tanah*. Hal. 55-77. Gunadarma.